

Study of Geometric Measure of Entanglement Produced by One-axis Counter Twisting Hamiltonian in Spin Systems¹

Azita Naji^{*2}, Mahmood Zeheiry³ and Mehrzad Ashrafpour⁴

Received: 2020.11.23

Revised: 2021.01.23

Accepted: 2021.04.04

Abstract

Generation of entanglement in separable two qubits states using the one-axis counter twisting Hamiltonian in the presence/absence of a magnetic field is studied by introducing the geometric measure of entanglement. The exact expression for the geometric measure is obtained without calculating the time evolution of the system state using the method of the expectation values of spin. The graphs of this measure as a function of time are plotted. The results show that in order to obtain the maximum entanglement under the influence of one-axis counter twisting Hamiltonian around x axis in absence of magnetic field, the system initially must be in a tensor product of S_z or S_y eigenstates. Also, the system initially in the S_x eigenstates under the influence of one-axis counter twisting Hamiltonian around x axis in absence of a magnetic field is not entangled, but, under the influence of one-axis counter twisting Hamiltonian around x axis in presence of a magnetic field in z direction the entanglement for this state becomes maximum. For all states, the frequency of entanglement is an increasing function of the magnetic field.

Keywords: *Entanglement, Geometric Measure, One-axis Counter Twisting Hamiltonian, Mean Value of Spin.*

¹ - DOI: [10.22051/ijap.2021.34065.1179](https://doi.org/10.22051/ijap.2021.34065.1179)

² - Assistant Professor, Department of Physics, Faculty of Science, Shahid Chamran University of Ahvaz, Ahvaz, Iran. (Corresponding Author), Email: az.naji56@gmail.com

³ - M. Sc. in Physics, Department of Physics, Faculty of Science, Shahid Chamran University of Ahvaz, Ahvaz, Iran. Email: zeheiry.m@gmail.com

⁴ - Assistant Professor, Department of Physics, Faculty of Science, Shahid Chamran University of Ahvaz, Ahvaz, Iran. Email: mehrzadashrafpour@yahoo.com

فصلنامه علمی فیزیک کاربردی ایران، دانشگاه الزهرا
سال دهم، پیاپی ۲۳، زمستان ۱۳۹۹

مقاله پژوهشی

بررسی سنجۀ هندسی درهم تنیدگی تولیدشده توسط هامیلتونی پیچش تک محوری در سامانه های اسپینی^۱

آزیتا ناجی^{۲*}، محمود زهیری^۳ و مهرزاد اشرف پور^۴

تاریخ دریافت: ۱۳۹۹/۰۹/۰۳

تاریخ بازنگری: ۱۳۹۹/۱۱/۰۴

تاریخ پذیرش: ۱۴۰۰/۰۱/۱۵

چکیده

با توجه به کاربردهای فراوان حالت های درهم تنیده و ضرورت تعیین کمی میزان درهم تنیدگی، در این مقاله نحوه ایجاد درهم تنیدگی در حالت های دو کیوبیتی جدایی پذیر با اعمال هامیلتونی پیچش تک محوری، در غیاب یا حضور میدان مغناطیسی با معرفی سنجۀ هندسی مطالعه شده است. عبارت دقیقی برای سنجۀ هندسی درهم تنیدگی بدون محاسبه حالت سامانه در حال تحول، با استفاده از روش مقدار چشمداشتی اسپین، محاسبه شده است سپس با رسم نمودار آن سنجۀ نسبت به زمان عوامل مؤثر در بیشینه سازی درهم تنیدگی را مطالعه کرده ایم. نتایج نشان داد که برای به دست آوردن بیشینه درهم تنیدگی توسط

^۱ DOI: 10.22051/ijap.2021.34065.1179

^۲ استادیار، گروه فیزیک، دانشکده علوم، دانشگاه شهید چمران اهواز، اهواز، ایران. (نویسنده مسئول)

Email: az.naji56@gmail.com

^۳ دانش آموخته کارشناسی ارشد، گروه فیزیک، دانشکده علوم، دانشگاه شهید چمران اهواز، اهواز، ایران.

Email: zeheiry.m@gmail.com

^۴ استادیار، گروه فیزیک، دانشکده علوم، دانشگاه شهید چمران اهواز، اهواز، ایران.

Email: mehrzadashrafpour@yahoo.com

هامیلتونی پیچش تک‌محوری حول محور X در غیاب میدان مغناطیسی، باید حالت اولیه، ضرب تانسوری ویژه‌حالت‌های مؤلفه‌های Z یا Y بردار اسپین کل باشد. ویژه‌حالت مؤلفه X اسپین کل، تحت تأثیر هامیلتونی پیچش تک‌محوری حول محور Z در غیاب میدان مغناطیسی، درهم‌تنیده نیست اما تحت تأثیر هامیلتونی پیچش تک‌محوری حول محور X با حضور میدان مغناطیسی در راستای Z به بیشینه درهم‌تنیدگی می‌رسد. هم‌چنین برای همه حالت‌ها، بسامد درهم‌تنیدگی تابعی افزایشی از میدان مغناطیسی است.

واژگان کلیدی: درهم‌تنیدگی، سنجۀ هندسی، هامیلتونی پیچش تک‌محوری، مقادیر چشمداشتی اسپین.

۱. مقدمه

درهم‌تنیدگی یکی از مفیدترین منابع در پردازش اطلاعات کوانتومی است [۱] و کاربردهای زیادی در نظریه اطلاعات کوانتومی و نظریه میدان‌های کوانتومی دارد [۲، ۳]. به‌همین دلیل، شناخت حالت‌های درهم‌تنیده و تعیین میزان درهم‌تنیدگی آن‌ها از اهمیت زیادی برخوردار است. برای تعیین مقدار درهم‌تنیدگی یا جدایی‌پذیر بودن حالت‌ها، معیارها و سنجه‌های متعددی تاکنون معرفی شده است [۴، ۵] که هر یک نقاط ضعف و قوت مخصوص به خود دارند.

یکی از سنجه‌های معرفی شده، جهت‌سنجش مقدار درهم‌تنیدگی، سنجۀ هندسی است [۶]. با استفاده از این سنجه، به روش مقادیر چشمداشتی اسپین [۷]، درهم‌تنیدگی ایجادشده در حالت‌های جدایی‌پذیر تحت هامیلتونی پیچش تک‌محوری را در حضور و غیاب میدان مغناطیسی بررسی می‌کنیم. برای به‌دست آوردن مقدار سنجۀ هندسی، مقادیر چشمداشتی مشاهده‌پذیرها و تابع مقدار درهم‌تنیدگی را به صورت تحلیلی محاسبه می‌کنیم. سپس با استفاده از نرم‌افزار متمتیکا نمودار مقدار درهم‌تنیدگی را برای حالت‌های مختلف ترسیم کرده و نتایج حاصل از آن را بررسی می‌کنیم.

۲. سنجۀ هندسی و مقادیر چشمداشتی اسپین

سنجۀ هندسی اولین بار توسط شیمونی در سال ۱۹۹۵ معرفی شد [۶]. برای هر حالت خالص $|\psi\rangle$ ، سنجۀ هندسی بر اساس فاصله هندسی بین حالت خالص $|\psi\rangle$ و نزدیک‌ترین حالت خالص جدایی‌پذیر تعریف می‌شود [۶، ۸، ۹]،

$$E = 1 - \max \left| \langle \psi | \psi_g \rangle \right|^2 = 1 - \Lambda_{\max}^2 \quad (1)$$

که در آن، $|\psi_S\rangle$ یک حالت خالص جدایی پذیر است.

همان طور که در رابطه (۱) دیده می شود، برای محاسبه مقدار سنج، لازم است کمینه سازی شود و از آن جا که، کمینه سازی در این موارد کار دشواری است، محققان در جستجوی روشی آسان تر و عملیاتی تر جهت محاسبه مقدار درهم تنیدگی حالت ها، به ارتباط بین سنج هندسی و مقادیر چشمداشتی اسپین به شکل زیر دست یافتند [۷]،

$$E = \frac{1}{2}(1 - |\langle\sigma\rangle|) \quad (2)$$

در این روش علاوه بر این که از عملیات سخت کمینه سازی رهایی می یابیم، مقدار درهم تنیدگی را نیز آزمایش پذیر کرده ایم زیرا مقادیر چشمداشتی اسپین را می توانیم در آزمایشگاه به دست آوریم. درخور توجه است که برای حالت های کاملاً جدایی پذیر مانند $|\psi\rangle = |00\rangle$ مقدار $\langle\sigma_1\rangle = 1$ به دست می آید و در نتیجه مقدار سنج برابر صفر می شود و برای حالت های کاملاً درهم تنیده بل مانند $|\psi\rangle = (|00\rangle + |11\rangle)/2$ مقدار چشمداشتی اسپین اول (یا اسپین دوم) برابر با صفر و مقدار سنج برابر $1/2$ می شود. بنابراین مقدار سنج هندسی برای حالت های دو کیوبیتی، مقادیر بین 0 تا $1/2$ را خواهد داشت.

۳. تأثیر هامیلتونی پیچش تک محوری

سامانه ای شامل N اسپین $1/2$ را در نظر می گیریم؛ کمیت S_x برای کل سامانه برابر با مجموع تمام S_{ix} ها است [۱۱، ۱۰]:

$$S_x = \sum_{i=1}^N S_{ix} = \frac{\hbar}{2} \sum_{i=1}^N \sigma_{ix} \quad (3)$$

که در آن σ_{ix} مؤلفه x ماتریس های پائولی ناآمین اسپین است.

هامیلتونی پیچش تک محوری حول محور x به صورت زیر تعریف می شود [۱۱، ۱۰]:

$$H = \chi S_x^2 \quad (4)$$

که در آن S_x^2 طبق رابطه (۳) به دست می آید. این هامیلتونی موجب پیچش سامانه حول محور x می شود، که نتیجه آن ایجاد درهم تنیدگی در برخی سامانه های جدایی پذیر است.

حالت اولیه سامانه به صورت زیر تعریف می شود

$$|\psi_{t=0}\rangle = |\psi_1\rangle|\psi_2\rangle\dots|\psi_N\rangle \quad (5)$$

که در آن

$$|\psi_j\rangle = a_j|0\rangle + b_j|1\rangle \quad (6)$$

۷۰ / بررسی سنجۀ هندسی درهم‌تنیدگی تولیدشده توسط هامیلتونی پیچش تک‌محوری در سامانه‌های اسپینی

که این حالت جدایی‌پذیر است یعنی درهم‌تنیده نیست. عملگر تحول زمانی که $|\psi_{t=0}\rangle$ را به $|\psi_t\rangle$ تبدیل می‌کند، با استفاده از رابطه (۴)، به صورت زیر نوشته می‌شود

$$U = e^{-\frac{iHt}{\hbar}} = e^{-\frac{i\chi S_x^2 t}{\hbar}} \quad (۷)$$

با توجه به رابطه (۳)، مقدار S_x^2 برحسب عملگرهای پائولی برابر است با

$$S_x^2 = \frac{\hbar^2}{4} (\sigma_{1x} + \sigma_{2x} + \dots + \sigma_{Nx})^2 = \frac{\hbar^2}{4} \left(NI + \sum_{l \neq k}^N \sigma_{lx} \sigma_{kx} \right) \quad (۸)$$

با جایگذاری رابطه فوق در رابطه (۷) داریم:

$$U = e^{-i\gamma t NI} e^{-i\gamma t \sum_{l \neq k}^N \sigma_{lx} \sigma_{kx}} \quad (۹)$$

که در آن، عبارت $\frac{\chi \hbar}{4}$ را برابر γ در نظر گرفته‌ایم.

برای محاسبۀ درهم‌تنیدگی ایجادشده بین اسپین اول و بقیۀ سامانه، ابتدا مقدار چشمداشتی σ_1

را برای حالت تحول‌یافته به دست می‌آوریم،

$$|\psi_t\rangle = e^{-\frac{i\chi S_x^2 t}{\hbar}} |\psi_{t=0}\rangle \quad (۱۰)$$

$$\langle \sigma_1 \rangle_t = \langle \psi(t) | \sigma_1 | \psi(t) \rangle \quad (۱۱)$$

$$\langle \sigma_{1x} \rangle_t = \langle \psi_1 | \langle \psi_2 | \dots \langle \psi_N | \left(e^{i\gamma N t} e^{2i\gamma t \sigma_{1x}} \left(\sum_{k=1}^N \sigma_{kx} \right) \sigma_{1x} e^{-i\gamma N t} e^{-2i\gamma t \sigma_{1x}} \left(\sum_{k=1}^N \sigma_{kx} \right) \right) | \psi_1 \rangle | \psi_2 \rangle \dots | \psi_N \rangle = \langle \sigma_{1x} \rangle_0 \quad (۱۲)$$

$$r_{1y} \rangle_t = \langle \psi_1 | \langle \psi_2 | \dots \langle \psi_N | \left(e^{i\gamma N t} e^{2i\gamma t \sigma_{1x}} \left(\sum_{k=1}^N \sigma_{kx} \right) \sigma_{1y} e^{-i\gamma N t} e^{2i\gamma t \sigma_{1x}} \left(\sum_{k=1}^N \sigma_{kx} \right) \right) | \psi_1 \rangle | \psi_2 \rangle \dots | \psi_N \rangle \quad (۱۳)$$

با توجه به آن که عبارت $e^{-i\gamma N t}$ با σ_{1y} جابه‌جایی‌پذیر است، عبارت

$$B = e^{i\gamma N t} e^{2i\gamma t \sigma_{1x}} \left(\sum_{k=1}^N \sigma_{kx} \right) \sigma_{1y} e^{-i\gamma N t} e^{-2i\gamma t \sigma_{1x}} \left(\sum_{k=1}^N \sigma_{kx} \right) \quad (۱۴)$$

به صورت زیر خواهد شد:

$$B = e^{2i\gamma t \sum_{k=1}^N \sigma_{ky}} \sigma_{1y} e^{-2i\gamma t \sum_{k=1}^N \sigma_{kx}} \quad (15)$$

که با کمک لم بیکرهاسدورف و با توجه به این که توان‌های زوج ماتریس‌های پائولی برابر I و توان‌های فرد آن‌ها برابر خودشان می‌شود، به شکلی ساده‌تر می‌نویسیم

$$B = \sigma_{1y} + 2i\gamma t \sum_{k=1}^N \sigma_{ky} [\sigma_{1x}, \sigma_{1y}] + \frac{\left(2i\gamma t \sum_{k=1}^N \sigma_{ky}\right)^2}{2} [\sigma_{1x}, [\sigma_{1x}, \sigma_{1y}]] \quad (16)$$

$$+ \frac{\left(2i\gamma t \sum_{k=1}^N \sigma_{ky}\right)^3}{6} [\sigma_{1x}, [\sigma_{1x}, [\sigma_{1x}, \sigma_{1y}]]] + \dots$$

$$\Rightarrow B = \sigma_{1y} - 4\gamma t \sum_{k=1}^N \sigma_{ky} - 8\gamma^2 t^2 \left(\sum_{k=1}^N \sigma_{ky}\right)^2 \sigma_{1y} + \frac{64\gamma^3 t^3 \left(\sum_{k=1}^N \sigma_{ky}\right)^3}{6} \sigma_{1x} + \dots \quad (17)$$

$$= \left(1 - 8\gamma^2 t^2 \left(\sum_{k=1}^N \sigma_{ky}\right)^2 + \dots\right) \sigma_{1y} - \left(4\gamma t \sum_{k=1}^N \sigma_{ky} - \frac{64\gamma^3 t^3 \left(\sum_{k=1}^N \sigma_{ky}\right)^3}{6} + \dots\right) \sigma_{1x}$$

$$\Rightarrow B = \sigma_{1y} \cos\left(4\gamma t \sum_{k=1}^N \sigma_{ky}\right) - \sigma_{1x} \sin\left(4\gamma t \sum_{k=1}^N \sigma_{kx}\right) \quad (18)$$

عبارت‌های $\left(\sum_{k=1}^N \sigma_{kx}\right)^2$ و $\left(\sum_{k=1}^N \sigma_{ky}\right)^3$ و توان‌های بالاتر را برای یک سیستم دو کیوبیتی محاسبه می‌کنیم تا از رابطه (۱۸) مقدار B را به دست آوریم،

$$\left(\sum_{k=1}^N \sigma_{kx}\right)^2 = \sigma_{2x}^2 = I \quad (19)$$

$$\left(\sum_{k=1}^N \sigma_{ky}\right)^3 = \sigma_{2y}^3 = \sigma_{2x} \quad (20)$$

۷۲ / بررسی سنجۀ هندسی درهم‌تنیدگی تولیدشده توسط هامیلتونی پیچش تک‌محوری در سامانه‌های اسپینی

به همین ترتیب توان‌های زوج و فرد با I و σ_{2x} برابر می‌شود. بنابراین،

$$\begin{aligned} I &= \sigma_{1y} - 4\gamma t \sigma_{1y} \sigma_{2z} - 8\gamma^2 t^2 \sigma_{1y} + \frac{64\gamma^3 t^3}{6} \sigma_{1y} \sigma_{2z} + \dots = \left(1 - 8\gamma^2 t^2 + \dots\right) \sigma_{1y} - \left(4\gamma t - \frac{64\gamma^3 t^3}{6} + \dots\right) \sigma_{1y} \sigma_{2z} \\ &\Rightarrow B = \sigma_{1y} \cos(4\gamma t) - \sigma_{1y} \sigma_{2z} \sin(4\gamma t) \end{aligned} \quad (21)$$

سپس با توجه به روابط (۱۳) و (۱۴) داریم:

$$\begin{aligned} \langle \sigma_{1y} \rangle_t &= \langle \psi_1 | \langle \psi_2 | (\sigma_{1y} \cos(4\gamma t) - \sigma_{1y} \sigma_{2z} \sin(4\gamma t)) | \psi_1 \rangle | \psi_2 \rangle \\ &= \langle \sigma_{1y} \rangle_0 \cos(4\gamma t) - \langle \sigma_{1z} \rangle_0 \langle \sigma_{2z} \rangle_0 \sin(4\gamma t) \end{aligned} \quad (22)$$

هم‌چنین برای محاسبۀ $\langle \sigma_{1z} \rangle_t$ داریم:

$$\langle \sigma_{1z} \rangle_t = \langle \psi_1 | \langle \psi_2 | \left(e^{2i\gamma I t} e^{2i\gamma t \sigma_{1y} \sigma_{2z}} \sigma_{1z} e^{-2i\gamma I t} e^{-2i\gamma t \sigma_{1y} \sigma_{2z}} \right) | \psi_1 \rangle | \psi_2 \rangle \quad (23)$$

برای محاسبۀ رابطه (۲۳)، با انتخاب عبارت

$$O = e^{2i\gamma t \sigma_{1y} \sigma_{2z}} \sigma_{1z} e^{-2i\gamma t \sigma_{1y} \sigma_{2z}} \quad (24)$$

و استفاده از لِم بیکرهاسدورف داریم:

$$\begin{aligned} O &= \sigma_{1z} + 2i\gamma t \sigma_{2z} [\sigma_{1y}, \sigma_{1z}] + \frac{(2i\gamma t \sigma_{2z})^2}{2} [\sigma_{1y}, [\sigma_{1y}, \sigma_{1z}]] \\ &\quad + \frac{(2i\gamma t \sigma_{2z})^3}{6} [\sigma_{1y}, [\sigma_{1y}, [\sigma_{1y}, \sigma_{1z}]]] + \dots \end{aligned} \quad (25)$$

$$O = \sigma_{1z} + 4\gamma t \sigma_{1y} \sigma_{2z} - 8\gamma^2 t^2 \sigma_{1z} - \frac{64\gamma^3 t^3}{6} \sigma_{1y} \sigma_{2z} + \dots = \left(1 - 8\gamma^2 t^2 + \dots\right) \sigma_{1z} + \left(4\gamma t - \frac{64\gamma^3 t^3}{6} + \dots\right) \sigma_{1y} \sigma_{2z}$$

$$\Rightarrow O = \sigma_{1z} \cos(4\gamma t) + \sigma_{1y} \sigma_{2z} \sin(4\gamma t) \quad (26)$$

با جایگذاری (۲۶) در رابطه (۲۳) داریم:

$$\begin{aligned} \langle \sigma_{1z} \rangle_t &= \langle \psi_1 | \langle \psi_2 | (\sigma_{1z} \cos(4\gamma t) + \sigma_{1y} \sigma_{2z} \sin(4\gamma t)) | \psi_1 \rangle | \psi_2 \rangle \\ &= \langle \sigma_{1z} \rangle_0 \cos(4\gamma t) + \langle \sigma_{1y} \rangle_0 \langle \sigma_{2z} \rangle_0 \sin(4\gamma t) \end{aligned} \quad (27)$$

با استفاده از روابط (۱۲)، (۲۲) و (۲۷) خواهیم داشت:

$$\langle \sigma_{1z} \rangle_t^2 = \langle \sigma_{1z} \rangle_0^2 + (\cos^2(4\gamma t) + \langle \sigma_{2z} \rangle_0^2 \sin^2(4\gamma t)) (\langle \sigma_{1y} \rangle_0^2 + \langle \sigma_{1z} \rangle_0^2) \quad (28)$$

سپس با جایگذاری رابطه بالا در رابطه (۲)، مقدار درهم تنیدگی به شکل زیر به دست می آید،

$$E(t) = \frac{1}{2} \left(1 - \sqrt{\langle \sigma_{1z} \rangle_0^2 + (\cos^2(4\gamma t) + \langle \sigma_{2z} \rangle_0^2 \sin^2(4\gamma t)) (\langle \sigma_{1y} \rangle_0^2 + \langle \sigma_{1z} \rangle_0^2)} \right) \quad (29)$$

با فرض $|\psi_1\rangle = a_1|0\rangle + b_1|1\rangle$ و $|\psi_2\rangle = a_2|0\rangle + b_2|1\rangle$ و حقیقی بودن ضرایب a_1, a_2, b_1 و b_2 رابطه (۲۹) برابر می شود با

$$E(t) = \frac{1}{2} \left(1 - \sqrt{4a_1^2 b_1^2 + (\cos^2(4\gamma t) + 4a_2^2 b_2^2 \sin^2(4\gamma t)) (1 - 4a_1^2 b_1^2)} \right) \quad (30)$$

در شکل (۱) منحنی $E(t)$ در رابطه (۳۰) را برای چند حالت اولیه که در روابط (۳۱)

تا (۳۵) معرفی شده اند، رسم کرده ایم.

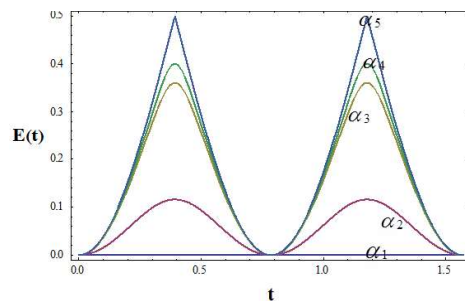
$$\alpha_1: a_1 = \frac{1}{\sqrt{2}}, b_1 = \frac{1}{\sqrt{2}}, a_2 = \frac{1}{\sqrt{2}}, b_2 = \frac{1}{\sqrt{2}}, \gamma = 1 \quad (31)$$

$$\alpha_2: a_1 = \frac{1}{\sqrt{10}}, b_1 = \frac{3}{\sqrt{10}}, a_2 = \frac{1}{\sqrt{10}}, b_2 = \frac{3}{\sqrt{10}}, \gamma = 1 \quad (32)$$

$$\alpha_3: a_1 = \frac{1}{10}, b_1 = \frac{\sqrt{99}}{10}, a_2 = \frac{1}{10}, b_2 = \frac{\sqrt{99}}{10}, \gamma = 1 \quad (33)$$

$$\alpha_4: a_1 = 1, b_1 = 0, a_2 = \frac{1}{10}, b_2 = \frac{\sqrt{99}}{10}, \gamma = 1 \quad (34)$$

$$\alpha_5: a_1 = 1, b_1 = 0, a_2 = 0, b_2 = 1, \gamma = 1 \quad (35)$$



شکل ۱ نمودار تغییرات $E(t)$ برای ۵ حالت معرفی شده در روابط (۳۱) تا (۳۵).

نتایج زیر حاصل می‌شود:

۱. حالتی که در آن $a_1^2 = b_1^2$ یا $a_2^2 = b_2^2$ باشد، به سبب این‌که از ضرب

ویژه‌حالت‌های عملگر S_x ساخته شده است، تحت تأثیر هامیلتونی مورد بررسی درهم‌تنیده نخواهد شد.

۲. برای حالت‌های اولیه‌ای که با استفاده از ضرب ویژه‌حالت‌های عملگر S_z ساخته

شده‌اند، رابطه (۳۰)، به صورت $E(t) = \frac{1}{2}[1 - \cos(4\gamma t)]$ خواهد شد. یعنی که این

حالت‌ها، تحت تأثیر هامیلتونی پیچش تک‌محوری، پس از زمان $t = \frac{\pi}{8\gamma}$ ، به حالت‌های

کاملاً درهم‌تنیده بل تبدیل خواهند شد.

اگر ضرایب a_1, a_2, b_1 و b_2 را مختلط در نظر بگیریم، نتیجه ۲ برای حالت‌های اولیه ضربی ساخته شده از عملگر S_y نیز صادق است.

باید ذکر کنیم که در مراجع [۱۲، ۱۳] نیز درهم‌تنیدگی ایجادشده توسط هامیلتونی پیچش

دومحوری در سامانه‌های اسپینی به صورت عددی بررسی شده است و نتایج مشابه به دست آمده است.

۴. تأثیر هامیلتونی پیچش تک‌محوری در حضور میدان مغناطیسی

میدان مغناطیسی را در راستای Z در نظر می‌گیریم. هامیلتونی پیچش تک‌محوری در حضور میدان مغناطیسی، به شکل زیر نوشته می‌شود [۱۱]،

$$H' = \chi S_x^2 + BS_z \quad (36)$$

بنابراین عملگر تحول زمانی، به صورت زیر است

$$U = e^{-2i\gamma t \sigma_{1x} \sigma_{2x}} e^{-i\eta t (\sigma_{1z} + \sigma_{2z})} \quad (37)$$

که در آن $\gamma = \frac{\hbar\chi}{4}$ و $\eta = \frac{B}{2}$ است.

مقادیر چشمداشتی مؤلفه‌های اسپین را نسبت به حالت تحول یافته با کمک رابطه (۳۷) با روشی

مشابه قسمت قبل محاسبه می‌کنیم،

$$\langle \sigma_{1x} \rangle_t = \langle \sigma_{1x} \rangle_0 \cos(2\eta t) - \langle \sigma_{1y} \rangle_0 \sin(2\eta t) \quad (38)$$

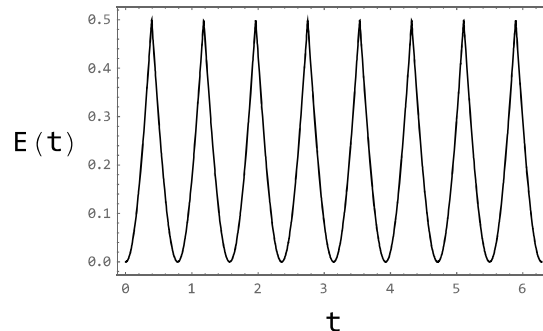
$$\langle \sigma_{1y} \rangle_t = (\langle \sigma_{1y} \rangle_0 \cos(4\gamma t) - \langle \sigma_{2x} \rangle_0 \langle \sigma_{1z} \rangle_0 \sin(4\gamma t)) \times \cos(2\eta t) + \langle \sigma_{1x} \rangle_0 \sin(2\eta t) \quad (39)$$

$$\langle \sigma_{1z} \rangle_t = \langle \sigma_{1z} \rangle_0 \cos(4\gamma t) + \langle \sigma_{1y} \rangle_0 \langle \sigma_{2x} \rangle_0 \sin(4\gamma t) \quad (40)$$

با استفاده از روابط (۳۸) و (۳۹) و (۴۰) مقدار چشمداشتی کیوبیت اول به دست می آید

$$\begin{aligned} \langle \sigma_1 \rangle_t^2 = & (\langle \sigma_{1x} \rangle_0 \cos(2\eta t) - \langle \sigma_{1y} \rangle_0 \sin(2\eta t))^2 + (\langle \sigma_{1z} \rangle_0 \cos(4\gamma t) + \langle \sigma_{1y} \rangle_0 \langle \sigma_{2x} \rangle_0 \sin(4\gamma t))^2 \\ & + \{ (\langle \sigma_{1y} \rangle_0 \cos(4\gamma t) - \langle \sigma_{2x} \rangle_0 \langle \sigma_{1z} \rangle_0 \sin(4\gamma t)) \cos(2\eta t) + \langle \sigma_{1x} \rangle_0 \sin(2\eta t) \}^2 \end{aligned} \quad (41)$$

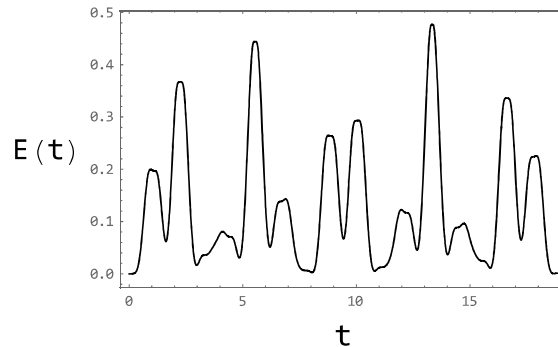
با جایگذاری رابطه بالا در رابطه (۲)، $E(t)$ را محاسبه می کنیم. در شکل (۲) منحنی $E(t)$ را برای حالت اولیه α_5 با فرض $\eta = 1$ رسم کرده ایم.



شکل ۲ نمودار تغییرات $E(t)$ با فرض $\eta = 1$ برای حالت α_5 .

همان طور که مشاهده می شود، نمودار شکل (۲) هیچ تفاوتی با نمودار α_5 شکل (۱) ندارد، زیرا حالت α_5 از ضرب ویژه حالت های عملگر S_z ساخته شده است. بنابراین اعمال میدان مغناطیسی در راستای Z تأثیری در ایجاد درهم تنیدگی ندارد. به علاوه، می بینیم که مقدار درهم تنیدگی با گذشت زمان رفتار نوسانی دارد و سامانه همیشه درهم تنیده است، مگر در بعضی نقاط گسسته که در آنها مقدار درهم تنیدگی صفر می شود.

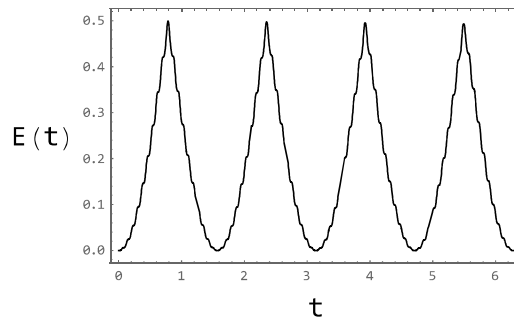
در شکل (۳) منحنی $E(t)$ را برای حالت اولیه α_1 ؛ که از ضرب ویژه حالت‌های عملگر S_x ساخته شده است، با فرض $\eta = 1$ رسم کرده‌ایم.



شکل ۳ نمودار تغییرات $E(t)$ با فرض $\eta = 1$ برای حالت α_1 .

شکل (۳) نشان می‌دهد که حضور میدان مغناطیسی باعث ایجاد درهم‌تنیدگی در این حالت شده است درحالی‌که مطابق شکل (۱) هامیلتونی پیچش تک‌محوری در غیاب میدان مغناطیسی، هیچ درهم‌تنیدگی در این حالت ایجاد نمی‌کند. هم‌چنین نمودار نشان می‌دهد که سامانه در حضور مقادیر کوچک میدان مغناطیسی، همیشه درهم‌تنیده است.

شکل (۴) نشان می‌دهد که با افزایش شدت میدان مغناطیسی، منحنی درهم‌تنیدگی نوسانی خواهد شد، طوری‌که در بازه‌های زمانی یکسان، درهم‌تنیدگی بیشینه می‌شود. نمودارها نشان می‌دهد که افزایش میدان مغناطیسی باعث افزایش بسامد ایجاد درهم‌تنیدگی می‌شود اما بیشینه درهم‌تنیدگی را کاهش می‌دهد.



شکل ۴ نمودار تغییرات $E(t)$ با فرض $\eta = 20$ برای حالت α_1 .

از آن‌جا که اعمال میدان مغناطیسی در راستای Z سبب چرخش حالت، حول محور Z می‌شود، مقدار چشمداشتی اسپین را بین راستاهای x و y با فرکانسی برابر با 2η تغییر می‌دهد، بنابراین

حالت اولیه‌ای که از ضرب ویژه حالت‌های عملگرهای S_x یا S_y ساخته شده است، توسط هامیلتونی پیچش تک‌محوری در حضور میدان مغناطیسی درهم‌تنیده می‌شود.

۵. بحث و نتیجه‌گیری

در این مقاله سنجۀ هندسی درهم‌تنیدگی را در سامانه‌های کیوبیتی با استفاده از مقادیر چشمداشتی اسپین مطالعه کردیم. با استفاده از این روش، دینامیک درهم‌تنیدگی حالت‌های جدایی‌پذیر را تحت تأثیر هامیلتونی پیچش تک‌محوری در غیاب و حضور میدان مغناطیسی خارجی در راستای Z بررسی کردیم. بدین ترتیب، توانستیم عبارت دقیقی برای سنجۀ هندسی بدون محاسبۀ حالت سامانه در حال تحول، با محاسبۀ مقادیر چشمداشتی اسپین به دست آوریم.

بررسی نمودارهای $E(t)$ نشان می‌دهد که تابع درهم‌تنیدگی یک تابع تناوبی است که بین صفر و یک مقدار بیشینه که به حالت اولیه بستگی دارد نوسان می‌کند. هامیلتونی پیچش تک‌محوری، بیشترین درهم‌تنیدگی را در حالت‌های اولیه‌ای که از ضرب تانسوری ویژه حالت‌های S_x یا S_y ساخته می‌شود، به وجود می‌آورد. کمترین درهم‌تنیدگی مربوط به حالت‌های اولیه‌ای است که حداقل یکی از کیوبیت‌های آن‌ها، ویژه حالت S_x باشد.

اثر هامیلتونی در حضور میدان مغناطیسی نیز با استفاده از سنجۀ هندسی محاسبه شد. مشاهده کردیم که حالت‌هایی که از ضرب ویژه حالت‌های S_x ساخته شده است، در حضور میدان مغناطیسی خارجی در راستای Z ، درهم‌تنیده می‌شود. هم‌چنین در همه حالت‌ها، افزایش میدان مغناطیسی خارجی باعث افزایش بسامد تابع $E(t)$ می‌شود.

۶. تقدیر و تشکر

این تحقیق توسط دانشگاه شهید چمران اهواز، ایران [GN: SCU.SP98.12469] پشتیبانی شد.

منابع

- [1] Sarkar D., "On measures of quantum entanglement", Int. J. Quantum Inf, 14 Issue 06, 1640024 (2016).
- [2] Naji A., Hamzeofi R. and Afshar D., "Entanglement teleportation via two qubits Heisenberg interaction in Jaynes-Cummings model under intrinsic decoherence", Iranian J. Phys. Res. 19, 03, 59-62 (2019).
- [3] Liu X. S., Long G. L., Tong D. M. and Li F., "General scheme for super dense coding between multi-parties", Phys. Rev. A 65, 022304-07 (2002).

- [4] Peres A., "Separability criterion for density matrices", *Phys. Rev. Lett.* **77**, 1413-1415 (1996).
- [5] Hollands S. and Sanders K., "Entanglement measure and their properties in quantum field theory", arXiv:1702.04924 quant-ph (2017).
- [6] Shimony A., "Degree of entanglement", *Ann. N. Y. Acad. Sci.* **755**, 675-679 (1995).
- [7] Frydryszak A. M. and Tkachuk V. M., "Geometric measure of entanglement for pure states and mean value of spin", arXiv:1211.6472 quant-ph.
- [8] Wei T. C. and Goldbart P. M., "Geometric measure of entanglement and applications to bipartite and multipartite quantum states", *Phys. Rev. A* **68**, 042307-20 (2003).
- [9] Tamaryan L., Park D. K. and Tamaryan S., "Analytic expressions for geometric measure of three qubit states", *Phys. Rev. A* **77**, 022325-30 (2008).
- [10] Kitagawa M. and Ueda M., "Squeezed spin states", *Phys. Rev. A* **47**(6), 5138-5143 (1993).
- [11] Wang X. and Sanders B. C., "Spin squeezing and pairwise entanglement for symmetric multiqubit states", *Phys. Rev. A* **68**, 012101-6 (2003).
- [12] Jafarpour M. and Akhound A., "Entanglement and squeezing of multi-qubit systems using a two-axis countertwisting Hamiltonian with an external field", *Phys. Lett. A* **372**, 2374-2379 (2008).
- [13] Naji A. and Jafarpour M., "Squeezing and entanglement in multi-qutrit systems", *Quant. Info. Process.* **12**, 2917-2933 (2013).